

УДК 535.416.3

### КОМПЕНСАЦИЯ ТЕПЛОВОЙ ДЕФОКУСИРОВКИ ПРОФИЛИРОВАННОГО СВЕТОВОГО ИМПУЛЬСА ПРИ НАЛИЧИИ ОГРАНИЧЕНИЙ НА ВОЛНОВОЙ ФРОНТ. ЧИСЛЕННЫЙ ЭКСПЕРИМЕНТ

В. А. Трофимов

(кафедра вычислительных методов факультета вычислительной математики и кибернетики)

Исследована эффективность компенсации нестационарной тепловой дефокусировки профилированных пучков при наличии ограничений в пространстве оптимизируемых параметров.

В настоящее время все большее внимание уделяется проблеме компенсации нелинейных искажений световых пучков (см., напр., [1—6]). Существенно, что при реализации адаптивных систем возникают различные ограничения на формируемый ими волновой фронт [1], и, как следствие этого, снижается качество компенсации [5]. В ряде работ показано, что профилированные (гипергауссовы и гипертрубчатые) оптические пучки, как правило, претерпевают значительно меньшее самовоздействие. Поэтому целесообразно использовать их в системах транспортировки световой энергии. Однако из-за отсутствия исследований, посвященных нелинейным искажениям сфокусированных профилированных пучков, остается открытым вопрос об области их эффективного применения. С этой целью в настоящем сообщении анализируется управление фокусировкой и волновым фронтом светового импульса сложного пространственного профиля при наличии ограничений на его волновой фронт (см. также [7]).

Распространение светового импульса в неподвижной среде описывается следующей системой уравнений:

$$\partial A / \partial z + i \Delta_{\perp} A - i \alpha T A = 0, \quad \partial T / \partial t = |A|^2$$

с граничным условием

$$A(z=0, r, t) = f(r) e^{iS(r, t)} / Q,$$

где  $A$  — нормированная на пиковое значение комплексная амплитуда пучка,  $z$  — координата, вдоль которой происходит распространение оптического излучения, измеряемая в дифракционных длинах  $l = 2ka^2$ ,  $k$  — волновое число,  $a$  — начальный радиус пучка,  $\Delta_{\perp}$  — поперечный оператор Лапласа,  $\alpha$  — отношение начальной мощности пучка к характерной мощности самовоздействия,  $T$  — безразмерное изменение температуры,  $t$  — время, нормированное на длительность импульса,  $r$  — поперечная координата, измеряемая в  $a$ ,  $f$  — начальное распределение амплитуды,  $Q$  — его норма,  $S$  описывает волновой фронт. Рассмотрим пучки со следующим начальным профилем:

$$f_{\Gamma}(r) = e^{-r^m}, \quad f_{\text{тр}}(r) = r^m e^{-r^m}.$$

В численных экспериментах сравнивалась эффективность управления фокусировкой  $\theta(t)$  пучка и его волновым фронтом. Отметим, что  $\theta(t)$  и  $S(r, t)$  оптимизировались градиентным методом с использованием предложенного в [6] закона изменения константы управления  $\gamma$ . Форма импульса считалась прямоугольной, что не ограничивает общности рас-

смотрения, так как от переменной  $t$  можно перейти к переменной  $\mathcal{E}(t) = \int_0^t I_0(\eta) d\eta$ , где  $I_0(t)$  задает форму импульса. Тогда рассмотрение импульсов любой формы будет эквивалентным. Оптимизация проводилась при условии

$$|S(r, t)| \leq M, \quad (1)$$

или, в случае управления только фокусировкой, при условии

$$|\theta(t)| \leq M. \quad (2)$$

Здесь  $M$  характеризует максимальное отклонение профиля гибкого зеркала от его первоначального невозмущенного плоского профиля.

Степень деформации зеркала можно также характеризовать функционалом

$$J_s = \int_0^1 \int_0^\infty S^2(r, t) \rho(r) r dr dt, \quad (3)$$

где  $\rho(r)$  характеризует передающую апертуру, и она тем меньше, чем меньше значение  $J_s$ . Очевидно, что быстродействие адаптивной системы и ее характеристики зависят от деформации зеркала. Поэтому желательно реализовывать оптимальные условия распространения при минимальном значении  $J_s$ . Качество компенсации искажений будем характеризовать долей световой энергии на приемнике радиуса  $R_a = 0,3$  за время длительности импульса,

$$J_{\mathcal{E}} = \int_0^1 dt \int_0^{R_a} |A(z_0, r, t)|^2 r dr. \quad (4)$$

Заметим, что в случае оптимизации волнового фронта или фокусировки при условии минимума (3) целесообразно [5] вместо критерия (4) использовать функционал

$$J_{\lambda \mathcal{E}} = J_{\mathcal{E}} + \lambda J_s,$$

где  $\lambda$  характеризует максимально допустимую информацию зеркала. Расчеты проводились для следующих значений параметров:  $\alpha = 8 \div 40$ ,  $z_0 = 0,1$ ;  $0 \leq t \leq 1$ ,  $\lambda = 0 \div 0,8$ ,  $M = 2,5 \div 0,4$ ;  $m = 2, 4, 6, 8, 10$ .

Проанализируем эффективность компенсации при управлении только фокусировкой пучка. Подчеркнем, что случай  $M = 2$  эквивалентен оптимизации волнового фронта без ограничения на фокусировку пучка. При этом для гипергауссовых пучков с  $m = 2 \div 10$   $J_s$  уменьшается соответственно в  $1,1 \div 1,3$  раза. Важно, что при оптимальной фокусировке для гауссова оптического излучения достигается более высокая концентрация световой энергии, чем для уплотненного пучка ( $m > 2$ ). Однако уже для  $M = 1,5$  ситуация резко изменяется: более предпочтительными в этом случае являются пучки с  $m = 4$ . Существенно, что  $J_{\mathcal{E}}$  для пучков с  $m \geq 6$  практически не изменяется как для  $M = 1,5$ , так и для  $M = 1$ . По мере уменьшения  $M$  до  $0,4$  происходит увеличение оптимального значения параметра  $m$ , при котором достигается наибольшее значение концентрации энергии на приемнике.

Изложенное выше иллюстрирует рис. 1, на котором сплошными кривыми представлены зависимости критерия  $J_{\mathcal{E}}$  от параметра  $M$  для случая  $\alpha = 8$ . Как видим, наличие ограничения оказывает наибольшее

влияние на гауссовы пучки ( $J_g$  при  $M=0,4$  уменьшается в 2,16 раза). Таким образом, целесообразность использования гипергауссовых пучков в рассматриваемой здесь ситуации несомненна. Так, при  $M < 1,5$  гипергауссов пучок с  $m > 6$  приводит к увеличению принимаемой энергии в 1,1÷2 раза при изменении  $M$  от 1,5 до 0,1. Заметим, что при уменьшении  $M$  для пучка с заданным  $m$  значением  $J_g$  уменьшается. Для фиксированного  $M > 1$  переход к уплощенным пучкам сопровождается увеличением деформации зеркала. Если же  $M < 1$ , то значение  $J_s$  одно и то же для пучков с различными  $m$ . Это связано с тем, что в данном случае оптимальная фокусировка реализуется при  $\theta_{\text{опт}} = M$ . При отсутствии ограничения на прогиб зеркала (а также для пучков

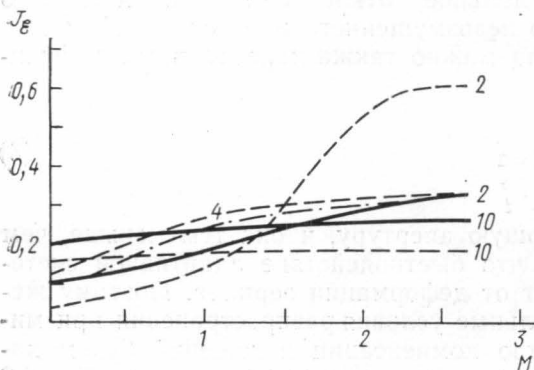


Рис. 1. Зависимость принимаемой энергии от  $M$  при оптимизации волнового фронта (штрихпунктирная кривая), и при оптимизации фокусировки гипергауссовых (сплошные кривые) и гипертрубчатых (пунктирные) пучков. Цифры у кривых соответствуют значениям параметра  $m$

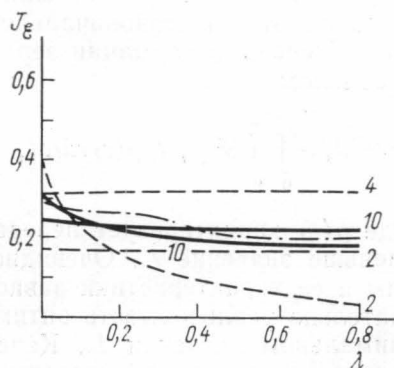


Рис. 2. Зависимость принимаемой энергии от параметра  $\lambda$ . Обозначения соответствуют рис. 1

с  $m \leq 6$  при  $M > 1,5$ ) значение  $\theta_{\text{опт}}$  в начале гауссова импульса всегда больше  $\theta_{\text{опт}}(1)$  (максимум достигается примерно при  $t=0,4$ ), в то время как для профилированного пучка к концу импульса необходимо увеличивать его параметр фокусировки  $\theta_{\text{опт}}$ . Однако уже при  $M=1,5$  и  $m \geq 6$  наилучшие условия транспортировки световой энергии реализуются при  $\theta_{\text{опт}}(0) \leq \theta_{\text{опт}}(1)$ .

Обратимся теперь к анализу эффективности компенсации тепловой дефокусировки светового импульса при условии минимума  $J_s$  (рис. 2). Из сравнения результатов для ограничений вида (2) и (3) видно, что при оптимизации фокусировки с условием минимума  $J_s$  для гауссовых пучков требуется более сильная (примерно в 1,2 раза) деформация зеркала по сравнению со случаем оптимизации при наличии ограничений на прогиб зеркала (2). Существенно, что снижение деформации гибкого зеркала для профилированного пучка с  $m \geq 4$  достигается при  $\lambda > 0,012$ . При этом концентрация световой энергии на мишени практически не изменяется. Значение же  $\lambda$ , для которого еще не происходит заметного снижения качества компенсации, определяется профилем пучка (параметром  $m$ ).

Подчеркнем также, что для уплощенных пучков с  $m=10$  уменьшение  $J_g$  при  $\lambda=0,8$  по сравнению со случаем  $\lambda=0,001$  составляет всего 4,8%. Для оптического излучения с  $m=8$  влияние ограничения не ска-

зывается на принимаемой энергии, если  $\lambda < 0,1$ . Интересно отметить, что иногда может реализоваться ситуация, когда с ростом  $\lambda$  достигается бóльшая концентрация мощности, что объясняется немонотонной зависимостью  $J_{\#}$  от  $\theta_{\text{опт}}$ . Подчеркнем, что введением  $\lambda$  можно в несколько раз снизить деформацию гибкого зеркала без существенного снижения качества коррекции. Другой важный вывод состоит в том, что гипергауссовы пучки целесообразно использовать, если  $\lambda \geq 0,08$ .

Результаты моделирования компенсации нелинейных искажений гипертрубчатых световых пучков представлены на рис. 1, 2 пунктирными кривыми. Обратим внимание на то обстоятельство, что для коллимированных пучков с ростом  $m$  доля принимаемой энергии сначала увеличивается, достигая максимального значения при  $m=6$ , а затем незначительно уменьшается. Таким образом, изменяя  $m$ , можно сфокусировать пучок в заданное сечение нелинейной среды. Отметим, что на данной трассе трубчатый профиль пучка не успевает трансформироваться в гауссов профиль. В результате этого его радиус превышает размеры приемника и достигается наименьшая концентрация световой энергии. При оптимальной же фокусировке мощность трубчатого пучка на приемнике больше мощности кольцевых пучков с  $m > 2$ . Поэтому задача оптимизации волнового фронта трубчатого пучка состоит в подстройке сечения трансформации его профиля к положению приемника. Отметим, что при оптимальной фокусировке достигается не только максимум принимаемой мощности, но и максимальная интенсивность.

Во многом зависимости  $J_{\#}$ ,  $J_s$  от параметров  $m$  и  $M$  аналогичны случаю распространения уплощенных пучков. Поэтому здесь кратко остановимся лишь на характерных особенностях и отличиях распространения гипертрубчатого оптического излучения. Так, кольцевой световой пучок позволяет в 1,6 раза повысить принимаемую мощность по сравнению с ее значением для гауссова пучка при отсутствии ограничений на прогиб волнового фронта. Из расчетов следует, что для  $M > 0,6$  целесообразно использовать трубчатые световые пучки, а при  $M \leq 0,6$  — гипергауссово оптическое излучение. Необходимо, однако, иметь в виду, что данное значение  $M$  определяется начальной мощностью, расстоянием до приемника и его размером.

Зависимость  $J_s$  от  $m$  для трубчатых пучков иная, чем для гипергауссовых. Если для оптического излучения с уплощенным профилем с ростом  $m$  значение  $J_s$  в целом увеличивается, то для кольцевых пучков, как правило, имеет место обратная тенденция. Важно подчеркнуть, что для гипертрубчатых пучков во многих случаях начальную часть импульса необходимо расфокусировать.

В случае оптимизации фокусировки оптического излучения при минимальной деформации гибкого зеркала (критерий  $J_s$ ) с  $\lambda \geq 0,01$  целесообразно использовать пучок с  $m=4$ . Как следует из расчетов, принимаемая энергия этого пучка практически не зависит от  $\lambda$  вплоть до  $\lambda=0,5$ . С ростом  $\lambda$  для некоторых профилей пучка оптимальным является нулевое значение параметра фокусировки  $\theta_{\text{опт}}=0$ .

На рис. 1,2 штрихпунктирными кривыми представлены результаты расчетов для гауссова пучка при оптимизации  $S(r, t)$ . Отметим, что «включение» новых степеней свободы при  $M \geq 2$  не приводит к существенному увеличению принимаемой мощности. Такая же ситуация реализуется, если  $M < 0,5$ . Однако если  $0,5 < M < 2$ , то управление аберрационными модами позволяет в 1,35 раза увеличить  $J_{\#}$ . При оптимизации волнового фронта с условием минимальной деформации зеркала (критерий  $J_{\# \lambda}$ ) выигрыш в использовании зеркал без ограничений на

их форму проявляется при  $\lambda \geq 0,05$  вплоть до исследуемого значения  $\lambda = 0,8$  и составляет примерно 20%. Отчасти это объясняется невысоким значением нелинейности. Заметим, что если  $M < 1$ , то переход к пучку с  $m=4$  позволяет увеличить концентрацию энергии гипергауссова пучка в 1,1÷2 раза при уменьшении  $M$  от 0,8 до 0,2 соответственно. При этом деформация зеркала уменьшается в 1,5÷3 раза.

Аналогичные результаты получены при компенсации стационарного теплового самовоздействия и керровской дефокусировки профилированных пучков.

#### СПИСОК ЛИТЕРАТУРЫ

- [1] Харди Дж. У. // ТИИЭР. 1978. 66, № 6. С. 31—85. [2] Карамзин Ю. Н., Сухоруков А. П. // Изв. АН СССР, сер. физ. 1978. 42, № 12. С. 2547—2559. [3] Ахманов С. А. и др. // Изв. вузов, Радиофизика. 1980. 23, № 1. С. 3—37. [4] Выслоух В. А., Егоров К. Д., Кандидов В. П. // Изв. вузов, Радиофизика. 1979. 22, № 5. С. 434—440. [5] Карамзин Ю. Н., Сухоруков А. П., Трофимов В. А. // Квант. электроника. 1984. 11, № 4. С. 693—700. [6] Сухоруков А. П., Трофимов В. А. // Там же. 1985. 12, № 8. С. 1617—1627. [7] Сухоруков А. П., Тимофеев В. В., Трофимов В. А. // Там же. 1986. 13, № 7. С. 1484—1495.

Поступила в редакцию  
29.04.86

После переработки  
26.01.87

ВЕСТН. МОСК. УН-ТА. СЕР. 3, ФИЗИКА. АСТРОНОМИЯ. 1987, Т. 28, № 5

УДК 535.3

#### **АКТИВНАЯ СПЕКТРОСКОПИЯ КОМБИНАЦИОННОГО РАССЕЯНИЯ МОЛЕКУЛЯРНЫХ КОМПЛЕКСОВ С СИЛЬНОЙ ОПТИЧЕСКОЙ НЕЛИНЕЙНОСТЬЮ**

**Н. И. Коротеев, Б. А. Медведев, О. Штенцель (ГДР)**

*(кафедра общей физики и волновых процессов)*

Теоретически проанализирована новая схема когерентной активной спектроскопии комбинационного рассеяния света в молекулярном комплексе-димере, обладающем «гигантской» оптической нелинейностью. Комплекс образован ван-дер-ваальсовым взаимодействием между молекулой-примесью и резонансно поглощающим атомом.

Целью настоящей работы является анализ новой схемы активной спектроскопии комбинационного рассеяния (АСКР), которая потенциально обладает повышенной чувствительностью к малым примесям в газовых смесях, а также демонстрирует необычные черты, характерные для схем с гигантской оптической нелинейностью. Речь идет об АСКР комплексов молекул-димеров (связанных, например, ван-дер-ваальсовым взаимодействием), одна из составляющих которых — молекула примеси, исследуемой с помощью АСКР, а вторая — специально подобранные молекула или атом, обладающие резонансным электронным переходом по одной или нескольким частотам, используемым для накачки АСКР. Последняя составляющая служит в качестве своеобразного резонатора, усиливающего действие накачки АСКР на молекулу-примесь.